

بررسی تأثیر زیری سطح ناپیوستگی بر مقاومت نمونه‌های سنگی درزه‌دار

ابوالفضل رضایی‌پور^۱، حمیدرضا نجاتی^{*}^۱، عبدالهادی قروینیان^۱، میر رئوف هادئی^۲

دریافت مقاله: ۹۳/۱۱/۱۲ پذیرش مقاله: ۹۵/۰۷/۰۷

چکیده

ناپیوستگی‌ها یکی از مهمترین عواملی هستند که باعث ایجاد آنیزوتropی مکانیکی در سنگ شده و سبب کاهش مقاومت سنگ می‌گردند، در نتیجه جهت توصیف رفتار سنگ باید خواص مربوط به ناپیوستگی‌ها و میزان تاثیری که بر روی مقاومت سنگ می‌گذارد مورد توجه و بررسی قرار گیرد. از جمله مهمترین خواص ناپیوستگی‌ها که بر روی مقاومت نمونه‌ی آنیزوتropی اثر می‌گذارد، زیری سطح ناپیوستگی‌هاست. از طرفی با توجه به اینکه در طبیعت سنگ‌ها تحت فشار جانبی قرار دارند، بنابراین بهتر است رفتار سنگ‌های درزه‌دار تحت شرایط محصور شده مورد بررسی قرار بگیرد. در تحقیق حاضر به منظور بررسی تأثیر زیری سطح درزه بر روی مقاومت سنگ، از نمونه‌های مصنوعی ساخته شده از ترکیب گچ و سیمان استفاده شده است. نمونه‌های مصنوعی در چهار سطح زیری و در هفت زاویه‌ی شبیه ناپیوستگی نسبت به تنش اصلی حداقل تهیق شدند، و در پنج فشار جانبی ۰/۵، ۱/۵، ۲/۵، ۳/۵ و ۵ مگاپاسکال تحت آزمایش مقاومت فشاری سه محوری قرار گرفتند. نتایج حاصل از این تحقیق نشان داد با افزایش زیری سطح ناپیوستگی، مقاومت سنگ‌های آنیزوتropی افزایش می‌یابد، که این افزایش مقاومت هنگامی که زاویه‌ی ناپیوستگی با تنش اصلی حداقل بین ۲۵° تا ۵۰° باشد بیشتر از بخش‌های دیگر است. همچنین نتایج نشان داد که بیشترین مقاومت سنگ آنیزوتropی در یکی از زوایای ۰° و یا ۹۰° درجه اتفاق می‌افتد که این زاویه برای مقادیر مختلف JRC متفاوت است.

کلید واژه‌ها: آنیزوتropی، زیری سطح ناپیوستگی، زاویه‌ی ناپیوستگی، فشار محصور کننده.

۱. گروه مهندسی مکانیک سنگ، دانشگاه تربیت مدرس h.nejati@modares.ac.ir

۲. گروه مهندسی مکانیک سنگ، دانشگاه بین‌المللی امام خمینی قزوین

* مسئول مکاتبات

در این تحقیق مطالعات گستردگی در زمینه‌ی بررسی تأثیر زبری سطح ناپیوستگی بر روی مقاومت سنگ تحت در فشارهای جانبی مختلف انجام شده است. برای دستیابی به این هدف نمونه‌های مصنوعی در چهار سطح زبری با استفاده از ترکیب گچ و سیمان ساخته شده است و تحت آزمایش مقاومت فشاری سه محوری قرار گرفته است. استفاده از

۱. مقدمه

توده‌های سنگی شامل ترک‌ها، ریزترک‌ها درزه‌ها و شکستگی‌ها می‌باشند. این نواقص بر روی مقاومت سنگ اثر می‌گذارند و مقاومت آن را کترول می‌کنند. جدا از تعداد ناپیوستگی‌های موجود در توده سنگ جهت یافتن آنها نسبت به محور بارگذاری و همچنین ویژگی‌های آنها مانند زبری سطح ناپیوستگی نقش مهمی در مقاومت سنگ دارد و هنگام طراحی سازه‌های سنگی باید مورد توجه قرار گیرد. تاکنون مطالعات زیادی در زمینه‌ی بررسی تأثیر جهت یافتن آنها ناپیوستگی‌ها بر روی مقاومت سنگ انجام شده است اما در پیشتر آنها تأثیر زبری سطح ناپیوستگی در نظر گرفته نشده است و مطالعات بر روی درزه‌ی صاف انجام شده است. ازان جمله می‌توان به مطالعات انجام شده توسط Jaeger (1960)، Walsh and Brace (1964)، McLamore and Gray (1967)، Donath (1964) و (1972) Donath اشاره کرد. کارهای Jaeger بر اساس تئوری ضعف منفرد توسعه یافته بود. این تئوری یک راهکار اولیه به منظور در نظر گرفتن تأثیر ناپیوستگی‌های موجود در توده سنگ بر روی مقاومت سنگ فراهم می‌کرد. McLamore و Gray به منظور توصیف رفتار سنگ‌های انیزوتربوپ طبیعی مانند اسلیت تئوری Jaeger را اصلاح کردند. آنها بر اساس منطق تئوری Jaeger یک معادله‌ی تجربی پیشنهاد کردند. به منظور نشان دادن کاربرد معادله تجربی Donath (1964)، Gray و McLamore یک سری آزمایش بر روی اسلیت مارتینسبورگ (Martinsburg) انجام داد.

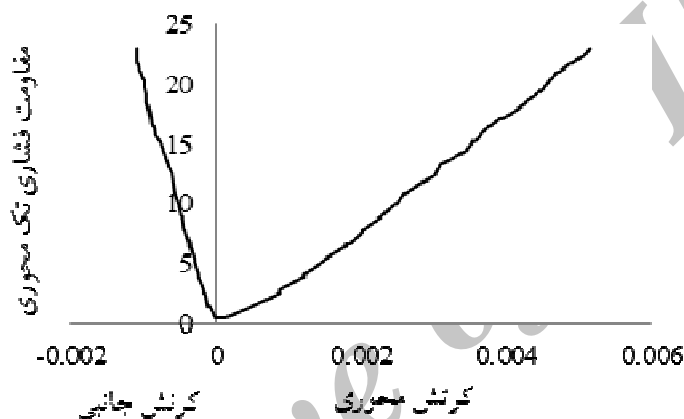
Bray (1967) تأثیر چند دسته ناپیوستگی یکسان را بر روی مقاومت سنگ بررسی کرد. او منحنی مقاومتی (مقاومت توده سنگ در مقابل زاویه‌ی ناپیوستگی) پیشنهاد کرد که با آنچه که توسط McLamore and Gray (1967) براساس نتایج آزمایش بر روی اسلیت پیشنهاد شد متفاوت بود. بررسی‌های نشان داد، هنگامی که تعداد ناپیوستگی‌های توده سنگ Bray افزایش می‌یابد مقاومت آن به سمت ایزوتروف شدن می‌نماید.

به منظور تهیی نمونه‌های آزمایش از مخلوط گچ و سیمان استفاده شده است. مخلوط مورد استفاده شامل ۵۰٪ وزنی گچ عبوری از الک ۳۰ مش ۱۸٪ درصد وزنی سیمان و ۳۲٪ آب می‌باشد. مقاومت فشاری تکمحوری نمونه‌ها با استفاده از استاندارد ISRM در آزمایشگاه تعیین شده است. شکل(۱) یک نمونه از منحنی تنش کرنش بدست آمده از آزمایش بر روی نمونه‌های بکر را نشان می‌دهد. در جدول(۱) مشخصات نمونه‌های مورد آزمایش بیان شده است.

نمونه‌های مصنوعی این امکان را فراهم کرد که تأثیر هر یک از پارامترها با ثابت نگه داشتن سایر پارامترها مورد بررسی قرار گیرد. پس از انجام آزمایش‌ها نمودارهای مقاومت فشاری سه‌محوری نسبت به زاویه‌ی بین ناپیوستگی و تنש اصلی حداکثر رسم گردید و بر اساس نتایج آنها تأثیر زبری سطح ناپیوستگی بر روی مقاومت سنگ مورد بررسی قرار گرفت.

۲. مشخصات تحقیق

۲-۱. مشخصات مواد مورد استفاده جهت ساخت نمونه‌ها



شکل ۱. نمونه‌ای از نمودار تنش-کرنش برای نمونه‌های بکر آزمایش شده

جدول ۱. پارامترهای مکانیکی سنگ بکر

v	ρ (gr/cm ³)	E (GPa)	σ_c (MPa)	ویژگی
۰/۲۲	۱/۸	۴/۳۹	۲۳/۰۹	مقدار

نمونه‌های بکر انجام شد که در جدول(۲) مقدار مقاومت حداکثر (σ_c) برای فشارهای جانبی مختلف آورده شده است. (۱) برای آزمایش مقاومت فشاری تکمحوری، یک سری آزمایش مقاومت فشاری سه‌محوری نیز تحت فشارهای جانبی مختلف (۰/۵، ۱/۰، ۲، ۳/۵ و ۵ مگاپاسکال) بر روی نمونه‌های بکر انجام شد که در شکل(۲) نشان داده شده است. بر اساس معیار موهر-کولمب مقادیر چسبندگی (C) و زاویه‌ی

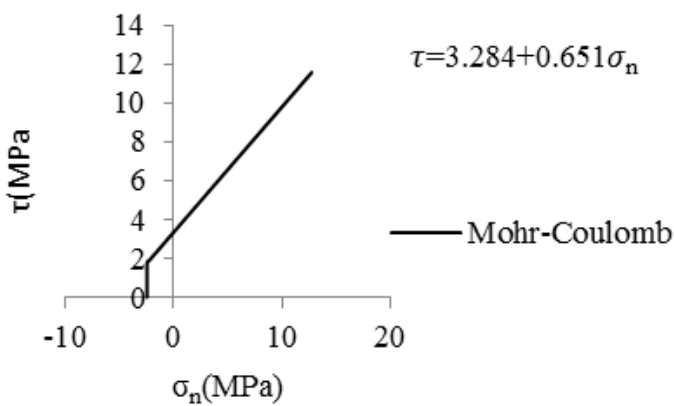
اضافه بر آزمایش مقاومت فشاری تکمحوری، یک سری آزمایش مقاومت فشاری سه‌محوری نیز تحت فشارهای جانبی مختلف (۰/۵، ۱/۰، ۲، ۳/۵ و ۵ مگاپاسکال) بر روی نمونه‌های بکر انجام شد که در شکل(۲) نشان داده شده است. بر اساس معیار موهر-کولمب مقادیر چسبندگی (C) و زاویه‌ی

جدول ۲. نتایج حاصل از آزمایش مقاومت فشاری سه محوری بر روی نمونه‌های بکر

σ_c (MPa)	۰/۵	۱/۰	۲	۳/۵	۵
σ_a (MPa)	۲۳/۲۴	۲۷/۴۷	۲۸/۳۳	۳۱/۹۹	۳۶/۳۵

اصکاک داخلی (φ) برای نمونه‌های بکر برابر با $C=۳/۲۹$ MPa و $\phi=۳۳/۰۷^\circ$ می‌باشد.

نتایج به منظور به دست آوردن پوش موهر-کولمب مورد استفاده قرار گرفت که در شکل (۲) نشان داده شده است. بر اساس معیار موهر-کولمب مقادیر چسبندگی (C) و زاویه‌ی



شکل ۲. پوش موهر- کولمب به دست آمده حاصل از آزمایش مقاومت فشاری سه محوری بر روی نمونه‌های بکر

۲-۲. روش ساخت نمونه‌ها

همین صورت ساخته شد. در شکل (۴) یک نمونه از این پروفیل‌ها نشان داده شده است. نحوه‌ی تهیه‌ی نمونه‌ها بدین صورت است که ابتدا هر یک از قسمت‌های پروفیل نشان داده شده در شکل (۴) در داخل قالب نشان داده شده در شکل (۳) قرار می‌گیرد و سپس ملات گچ و سیمان بر روی آن ریخته می‌شود. با این کار یک طرف هر پروفیل که یک بلوک با یک سطح زیر و به ابعاد $15\text{cm} \times 10\text{cm} \times 10\text{cm}$ می‌باشد ساخته می‌شود. در شکل (۵) نمونه‌ای از بلوک زیر ساخته شده با استفاده از پروفیل بارتون- چوبی نشان داده شده است.



شکل ۴. یک جفت از پروفیل‌های زیر ساخته شده بر روی پلاستیک فشرده

به منظور ایجاد یک درزه‌ی زیر، طرف دوم هر پروفیل در قالب قرار داده می‌شود و مانند حالت قبل یک بلوک دیگر که مکمل بلوک اول است ساخته می‌شود. پس از این که بلوک‌ها

به منظور ساخت نمونه‌ها از یک سری قالب پلکسی گلاس استفاده شد. قالب‌های مورد استفاده دارای ابعاد $15\text{cm} \times 10\text{cm} \times 10\text{cm}$ می‌باشند که در شکل (۳) نشان داده شده است.



شکل ۳. قالب پلکسی گلاس مورد استفاده جهت ساخت نمونه‌ها

پس از ساخت قالب پلکسی گلاس، به منظور ساخت نمونه‌های درزدار زیر از پروفیل‌های استاندارد Barton and Choubey (1977) استفاده شده است. نحوه‌ی استفاده از این پروفیل‌ها بدین صورت است که ابتدا پروفیل‌های مورد نیاز، با توجه به زبری آنها انتخاب، و سپس بر روی پلاستیک فشرده ساخته شد. با توجه به اینکه برای ساخت نمونه‌های مورد نیاز، پروفیل‌ها به صورت نرگی و مادگی مورد نیاز بود، قسمت دوم هریک از پروفیل‌ها نیز به

در مرحله‌ی بعد، سر و ته مغزه‌های تهیه شده صیقل داده شد، تا نمونه‌های مناسب جهت انجام آزمایش مقاومت فشاری سه محوری تهیه گردد. در شکل(۶) روند تهیه نمونه‌های مورد نیاز برای آزمایش نشان داده شده است.

در شکل(۸) یک سری نمونه که سر و ته آنها صیقل داده شده است، در زوایای مختلف انیزوتروپی نشان داده شده است. پروفیل‌ها به گونه‌ای انتخاب شدند که سطوح مختلف زبری JRC=۰ برای ناپیوستگی با سطح صیقلی و JRC=۱۷ برای ناپیوستگی با درجه زبری بالا^(۸) را شامل شوند.

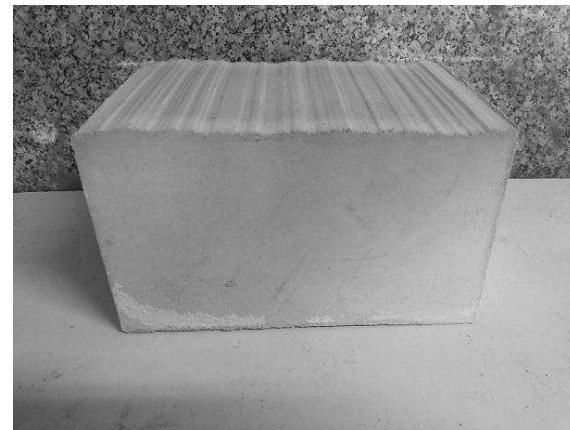
با توجه با اینکه در جهت‌داری‌های مختلف ناپیوستگی نسبت به محور تنش اصلی حداقل، طول ناپیوستگی متفاوت است لذا باید پروفیل‌ها به گونه‌ای انتخاب شود که مقدار JRC برای یک سری از نمونه‌های مربوط به هر آزمایش ۳۵ نمونه‌ای که برای ۵ فشار جانبی مختلف نیاز است) ثابت بماند. بدین منظور از رابطه‌ی زیر که توسط بارتون- چوبی (Barton and Choubey 1977) ارائه شده، استفاده شده است:

$$JRC_n = JRC \cdot \left(\frac{L_n}{L_c} \right)^{-0.2JRC}, \quad (1)$$

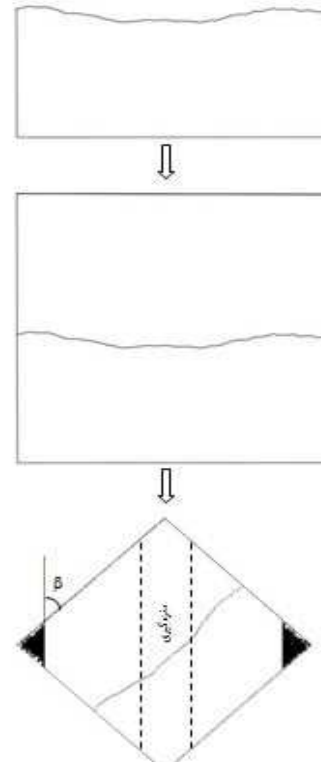
که در آن JRC_0 و L_0 زبری و طول درزه با اندازه ۱۰cm و JRC_n و L_n زبری و طول در بلوك‌های بر جا می‌باشد. نکته‌ی دیگر که باید به آن توجه کرد این است که با توجه به اینکه پروفیل‌های استاندارد بارتون- چوبی برای یک ناپیوستگی به طول ۱۰cm می‌باشد، لذا امکان تهیه مغزه‌های استاندارد نمی‌باشد. بنابراین با استفاده از رابطه‌ی بارتون- بندیس ابتدا باید زبری برای یک درزه بزرگتر (با توجه به طول مغزه مورد نیاز) محاسبه گردد، و سپس بر اساس آن پروفیل‌ها انتخاب گردد. اگر ۱۰ پروفیل بارتون- چوبی در ۱۰ کلاس تقسیم‌بندی شود، مقدار JRC برای هر کلاس در مقیاس ۱۵cm در جدول(۳) آورده شده است. در زیر فرآیند محاسبه‌ی زبری برای حالت $JRC=17$ توضیح داده شده است.

طول مغزه‌ها برای محاسبه‌ی JRC (L_n) بنابر استاندارد ISRM (نسبت طول به قطر ۲ به ۳ برای آزمایش سه محوری) برابر با ۱۱cm در نظر گرفته شده است. بنابراین مقدار JRC

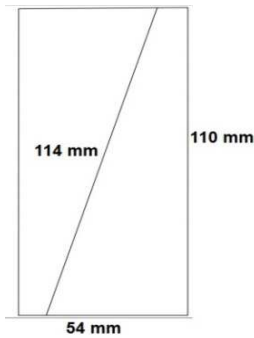
تهیه شد باید از این بلوك‌ها مغزه‌گیری شود تا نمونه‌های مناسب جهت انجام آزمایش سه محوری به دست آید. به این منظور بلوك‌های تهیه شده، در زوایای مختلف نسبت به محور بارگذاری (۰، ۱۵، ۳۰، ۴۵، ۶۰، ۷۵ و ۹۰ درجه) برش داده شد و سپس مغزه‌گیری از هر بلوك انجام شد. قطر مغزه‌های تهیه شده ۵۴mm است.



شکل ۵. نمونه‌ای از یک بلوك با سطح زبر، ساخته شده با استفاده از پروفیل بارتون- چوبی



شکل ۶. فرآیند تهیه نمونه‌های مورد نیاز برای آزمایش



شکل ۷. شماتیکی از یک مغزه‌ی تهیه شده با زاویه‌ی ناپیوستگی 15°

$$L_n = 11/\epsilon \text{ cm}, L_1 = 15 \text{ cm}, JRC_n = 17$$

$$JRC_n = JRC \cdot \left(\frac{L_n}{L_1} \right)^{-\frac{1}{JRC}} \rightarrow 17 = JRC \cdot \left(\frac{11}{15} \right)^{-\frac{1}{JRC}}$$

$$\rightarrow \ln \left(\frac{17}{JRC} \right) = -0.005 JRC \rightarrow JRC = 15/602$$

این مقدار JRC مربوط به کلاس X از جدول (۳) می‌باشد. همین روند برای زبری‌های دیگر ($JRC=7$ و $JRC=12$) و زوایای دیگر نیز انجام می‌شود و پروفیل مربوط به هر زاویه تعیین می‌گردد.

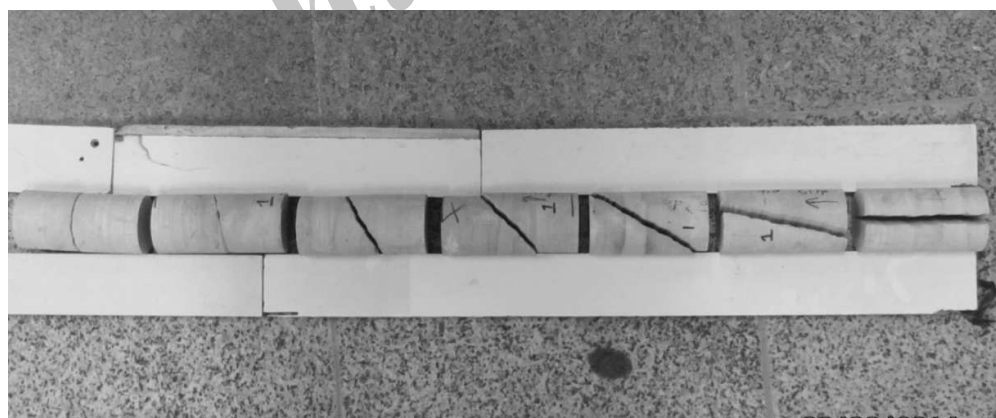
برای یک ناپیوستگی زیر در زاویه‌ی ایزوتروپی 0° درجه برابر است با:

$$L_n = 11 \text{ cm}, L_1 = 15 \text{ cm}, JRC_n = 15/5$$

$$JRC_n = JRC \cdot \left(\frac{L_n}{L_1} \right)^{-\frac{1}{JRC}} = 15/5 \times \left(\frac{11}{15} \right)^{-\frac{1}{0.2 \times 15/5}} = 17$$

بنابراین مقدار JRC برای این حالت برابر با ۱۷ می‌باشد. دلیل انتخاب مقدار $15/5$ برای JRC_0 این است که پس از تبدیل مقیاس بیشترین مقدار JRC براساس پروفیل‌های بارتون-چوبی برای یک درزه‌ی 15 cm تقریباً بین ۱۵ تا ۱۷ می‌باشد. حال $JRC=17$ به عنوان مقدار ثابت در نظر گرفته می‌شود و روندی معکوس برای یافتن پروفیلی که (در مقیاس 15 cm) این مقدار JRC را برای زوایای مختلف به دست دهد انجام می‌شود. در زیر این روند برای زاویه‌ی 15° توضیح داده شده است.

همانطور که در شکل (۷) نشان داده شده است برای زاویه‌ی 15° طول ناپیوستگی $11/4 \text{ cm}$ می‌باشد. با توجه به اینکه مقدار JRC_n باید برابر با ۱۷ باشد لذا باید JRC_0 محاسبه شود:



شکل ۱. نمونه‌های صیقل داده شده در زوایای مختلف ایزوتروپی

جدول ۳. مقدار JRC برای کلاس‌های مختلف پروفیل‌های بارتون برای یک درزه به طول 15 cm

Class No	I	II	III	IV	V	VI	VII	VIII	IX	X
JRC	-	-	-	-	-	-	-	-	-	-
	1/968	1/872	3/872	5/715	7/497	9/221	10/887	12/497	14/053	15/055
	1/968	3/872	5/715	7/497	9/221	10/887	12/497	14/053	15/055	17/006

سطح مختلف، تحت آزمایش مقاومت فشاری سه محوری در فشارهای جانبی مختلف قرار گرفتند. نتایج حاصل از آزمایش‌ها در جدول‌های (۴ تا ۸) آورده شده است.

۳. آزمایش مقاومت فشاری سه محوری بر روی نمونه‌های انیزوتروپ نمونه‌های دارای ناپیوستگی با شیب مختلف و همچنین زبری

جدول ۱. نتایج آزمایش مقاومت فشاری سه محوری، ($\sigma_1 = 0.5 \text{ MPa}$)، بر روی نمونه‌های انیزوتروپ برای حالت

JRC β^*	۰	۷	۱۲	۱۷
۰	۱۹/۷۲	۲۰/۱۵	۲۱/۴۳	۲۱
۱۵	۱۴/۵۷	۱۶/۷۹	۱۸/۴۳	۱۸/۸۶
۳۰	۴/۷۲	۷/۷۲	۱۰/۷۲	۱۲/۴۲
۴۵	۷/۲۹	۱۵/۴۳	۱۷/۱۰	۱۸
۶۰	۱۵/۸۶	۱۸/۴۳	۱۹/۲۹	۲۰/۱۰
۷۵	۲۰/۵۸	۲۰/۱۵	۲۱/۴۳	۲۱/۸۲
۹۰	۱۹/۷۲	۲۱/۸۶	۱۸/۸۶	۱۹/۷۲

جدول ۲. نتایج آزمایش مقاومت فشاری سه محوری، ($\sigma_1 = 1.5 \text{ MPa}$)، بر روی نمونه‌های انیزوتروپ برای حالت

JRC β^*	۰	۷	۱۲	۱۷
۰	۲۴/۸۶	۲۶/۱۰	۲۶/۱۰	۲۷/۰۱
۱۵	۱۸	۲۰/۵۸	۲۲/۲۹	۲۴/۰۱
۳۰	۱۰/۷۲	۱۴/۱۰	۱۶/۷۲	۱۸/۴۲
۴۵	۱۲	۲۰/۱۰	۲۱/۴۳	۲۲/۷۲
۶۰	۱۹/۲۹	۲۲/۲۹	۲۳/۵۸	۲۴/۸۶
۷۵	۲۳/۵۸	۲۴/۴۳	۲۵/۷۲	۲۶/۱۰
۹۰	۲۵/۷۲	۲۵/۲۹	۲۵/۲۹	۲۶/۵۸

جدول ۶. نتایج آزمایش مقاومت فشاری سه محوری، ($\sigma_1 = 2 \text{ MPa}$)، بر روی نمونه‌های انیزوتروپ برای حالت

JRC β^*	۰	۷	۱۲	۱۷
۰	۲۶/۵۸	۲۷/۰۱	۲۷/۴۳	۲۸/۲۹
۱۵	۲۱/۴۳	۲۲/۷۲	۲۴/۸۶	۲۶/۵۸
۳۰	۱۲/۸۶	۱۷/۵۸	۲۰/۱۰	۲۱/۸۶
۴۵	۱۴/۱۰	۲۱/۸۶	۲۴/۴۳	۲۵/۷۲
۶۰	۲۱/۴۳	۲۴/۴۳	۲۵/۷۲	۲۶/۵۸
۷۵	۲۵/۲۹	۲۶/۱۰	۲۶/۵۸	۲۷/۴۲
۹۰	۲۷/۴۳	۲۷/۸۶	۲۷/۷۲	۲۶/۵۸

جدول ۷. نتایج آزمایش مقاومت فشاری سه محوری، (MPa)، بر روی نمونه‌های ایزوتrop براحتی حالت $\sigma_3 = ۳/۵$ MPa

JRC β^*	.	۷	۱۲	۱۷
۰	۳۰/۴۴	۲۱/۲۹	۲۱/۲۹	۲۱/۷۲
۱۵	۲۶/۲۵	۲۸/۲۹	۳۰/۰۱	۳۰/۸۶
۳۰	۱۷/۲۹	۲۴/۴۳	۲۷/۵۸	۲۷/۸۶
۴۵	۱۸	۲۷/۸۶	۲۸/۷۲	۲۹/۵۸
۶۰	۲۵/۷۲	۲۹/۵۸	۳۰/۴۴	۳۰/۸۶
۷۵	۲۹/۵۸	۳۱/۲۹	۳۱/۲۹	۳۱/۷۲
۹۰	۳۱/۲۹	۳۱/۷۲	۳۰/۴۴	۳۰/۴۴

جدول ۳. نتایج آزمایش مقاومت فشاری سه محوری، (MPa)، بر روی نمونه‌های ایزوتrop براحتی حالت $\sigma_3 = ۵$ MPa

JRC β^*	.	۷	۱۲	۱۷
۰	۳۴/۲۹	۳۴/۷۲	۳۵/۵۸	۳۶/۰۱
۱۵	۳۰/۸۶	۳۳/۰۱	۳۴/۲۹	۳۴/۷۲
۳۰	۲۰/۰۸	۲۹/۵۸	۳۱/۷۲	۳۰/۴۴
۴۵	۲۴/۰۱	۳۰/۸۶	۳۳/۰۱	۳۳/۸۶
۶۰	۳۰/۰۱	۳۲/۵۸	۳۴/۲۹	۳۴/۷۲
۷۵	۳۲/۵۸	۳۴/۲۹	۳۴/۷۲	۳۵/۱۵
۹۰	۳۴/۷۲	۳۵/۱۵	۳۵/۱۵	۳۵/۰۸

هنگامی که فشار جانبی افزایش می‌یابد تفاوت میان این نمودارها آشکار می‌گردد، به گونه‌ای که در فشار جانبی $\sigma_3 = ۵$ MPa نمودار برای نمونه‌های زبر تقریباً یک تابع ثابت است در حالی که برای نمونه‌های با سطح صاف حالت شانه‌ای دارد، که این نشان می‌دهد تأثیر زبری سطح درزه بر روی مقاومت سنگ در فشارهای جانبی بالاتر، بیشتر است. نکته‌ی دیگری که باید به آن توجه کرد کاهش فرم شانه‌ای نمودارها با افزایش زبری است. همانگونه که مشاهده می‌شود با افزایش زبری، منحنی مقاومت فشاری نسبت به زاویه‌ی ناپیوستگی به سمت بالا حرکت کرده و حالت شانه‌ای نمودارها کمتر می‌شود (طول β با افزایش زبری کاهش می‌یابد).

همچنین همانگونه که از نمودارها مشاهده می‌شود با افزایش زبری، نمودارها به سمت چپ منتقل شده و زاویه‌ی مربوط به کمترین مقاومت، (β_{\min})، کاهش یافته است. زمانی که سطح ناپیوستگی صاف باشد کمترین مقاومت در زاویه‌ی حدود 35° اتفاق می‌افتد در صورتی که برای سطوح زبر این مقدار کاهش می‌یابد و به حدود 30° می‌کند. اما با افزایش فشار

۴. بررسی تأثیر زبری سطح درزه بر مقاومت سنگ در شرایط محصور شده

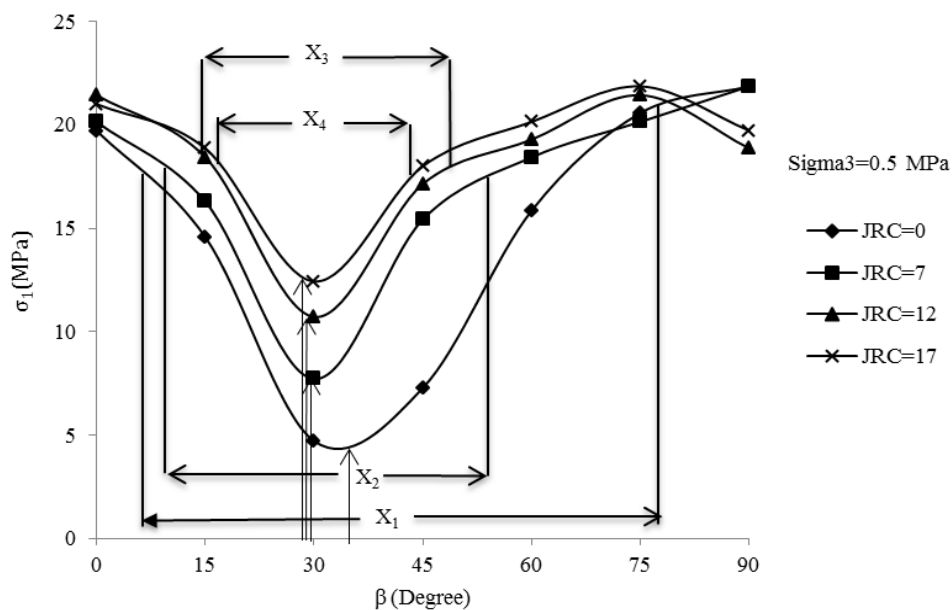
در شکل ۲ تا (۱۳) تغییرات مقاومت فشاری سه محوری نمونه‌ها (۱) نسبت به زاویه‌ی بین ناپیوستگی و تنش اصلی حداکثر (β) در زبری‌های مختلف برای هر یک از فشارهای محصور کننده نشان داده شده است.

همانطور که در این شکل‌ها مشاهده می‌شود با افزایش زبری در هر یک از نمودارها مقاومت نمونه‌های ایزوتrop افزایش یافته است. این افزایش مقاومت در زوایای حدود 25° تا 50° بسیار بیشتر از بخش‌های دیگر نمودار است. این شرایط برای تمام زوایای شبیه به جز $\beta = 90^\circ$ برقرار است. در زاویه‌ی شبیه 90° هنگامی که زبری افزایش می‌یابد مقاومت نمونه کاهش می‌یابد، که دلیل این می‌تواند تمرکز تنش ایجاد شده در نوک دندانها باشد. ولی در فشارهای جانبی بالا این شرایط برقرار نیست.

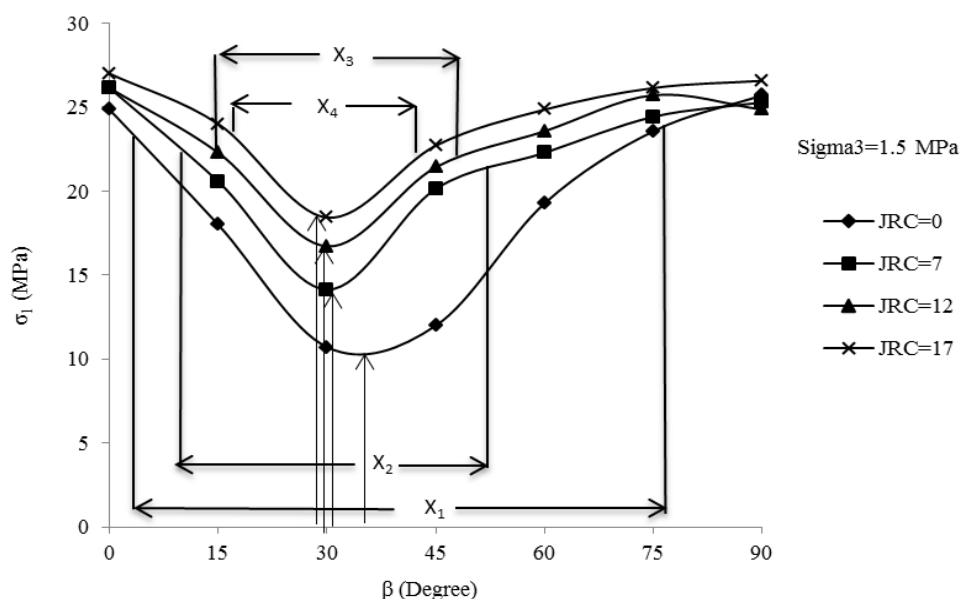
زمانی که فشار جانبی کم است نمودار مربوط به نمونه‌های دارای سطح صاف تقریباً شبیه نمونه‌های با سطح زبر است، اما

آورده شده است. همانگونه که در این شکل مشاهده می‌شود، در یک زاویه‌ی شبیه مشخص با افزایش فشار جانبی میزان قفل شدگی ایجاد شده در دندانه‌ها و در نتیجه مقاومت نمونه افزایش یافته است. چرا که در فشارهای جانبی کم امکان لغزش سطوح روی یکدیگر بیشتر است و در حالتی که لغزش روس سطح اتفاق بیفتد مقاومت نمونه نسبت که حالتی که سطوح حالت درگیر داشته باشند کاهش می‌یابد.

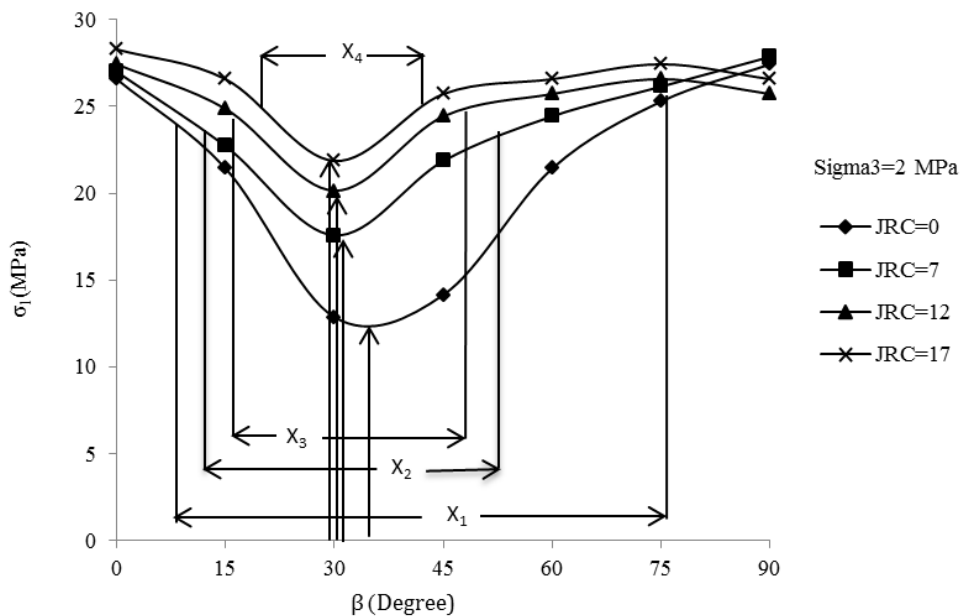
جانبی این اختلاف کمتر می‌شود. دلیل این رفتار را می‌توان به این صورت بیان کرد که هنگامی که فشار جانبی افزایش می‌یابد تأثیر زبری سطح ناپیوستگی بر روی مقاومت نمونه کم می‌شود و رفتار نمونه به سمت ایزوتروپ شدن میل می‌کند. در شکل ۷ تغییرات β_{min} نسبت به JRC نشان داده شده است. در شکل ۸) تصاویر مربوط به ۴ در نمونه در زاویه‌ی شبیه ۴۵ درجه و در $JRC=7$ برای فشارهای جانبی مختلف



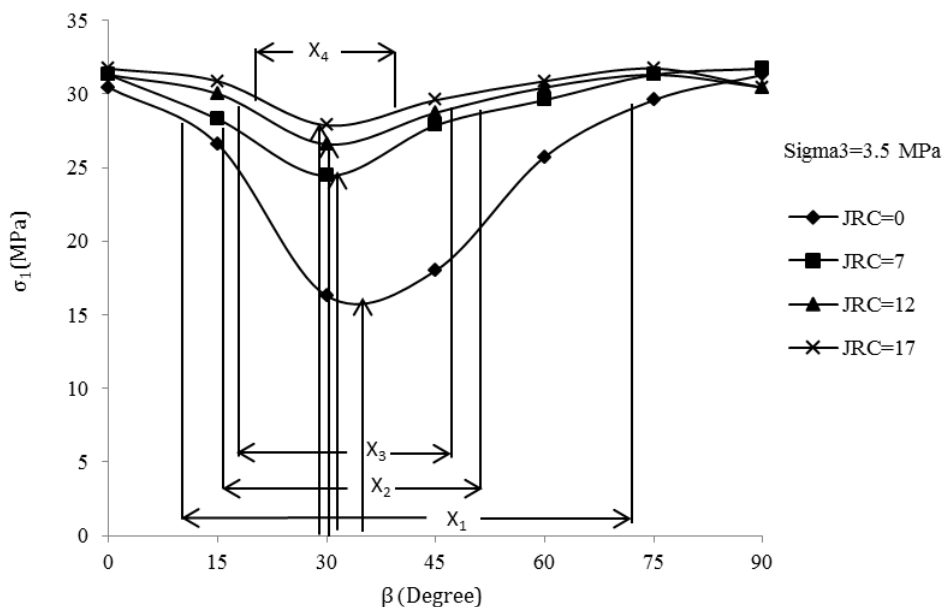
شکل ۲. تغییرات مقاومت فشاری نمونه‌های انبیزوتروب نسبت به زاویه‌ی ناپیوستگی برای $\sigma_3 = 0.5 \text{ MPa}$



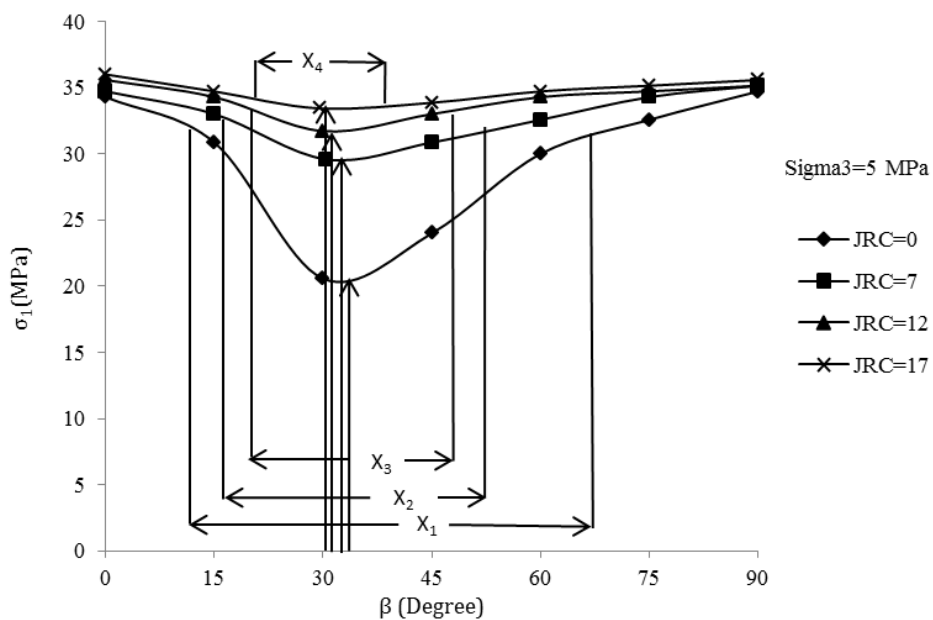
شکل ۳. تغییرات مقاومت فشاری نمونه‌های انبیزوتروب نسبت به زاویه‌ی ناپیوستگی برای $\sigma_3 = 1.5 \text{ MPa}$



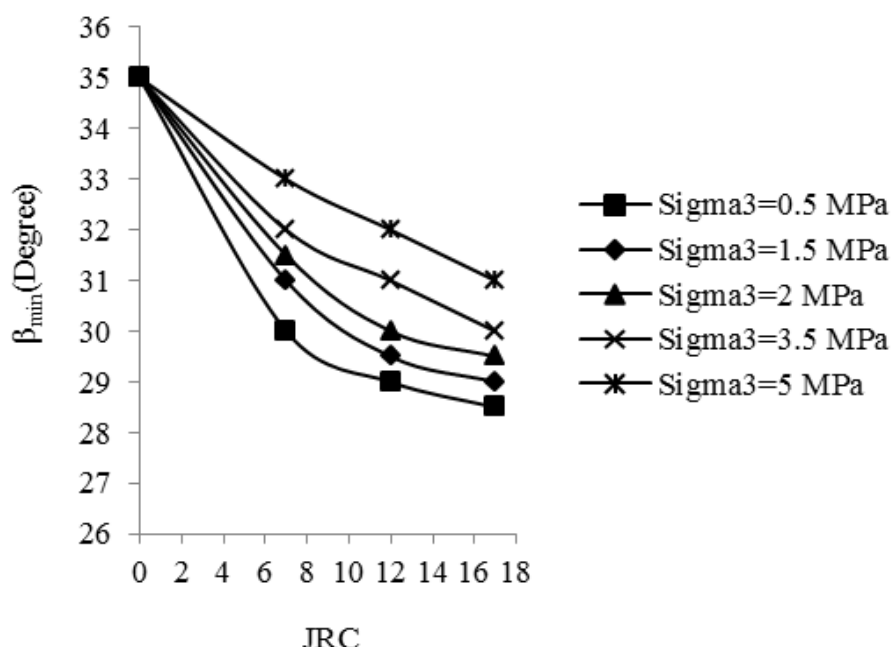
شکل ۴. تغییرات مقاومت فشاری نمونه‌های ایزوتrop پ نسبت به زاویه‌ی ناپیوستگی برای $\sigma_3=2$ MPa



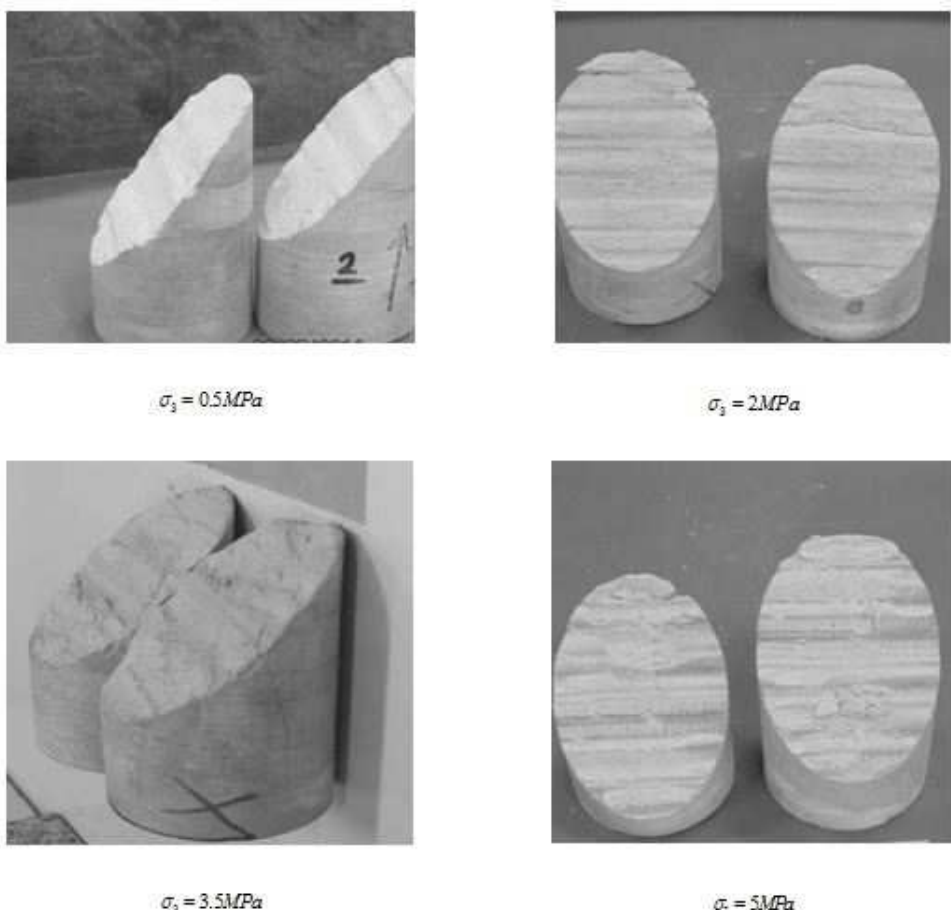
شکل ۵. تغییرات مقاومت فشاری نمونه‌های ایزوتrop پ نسبت به زاویه‌ی ناپیوستگی برای $\sigma_3=3.5$ MPa



شکل ۶. تغییرات مقاومت فشاری نمونه‌های انیزوتrop نسبت به زاویه‌ی ناپیوستگی برای $\sigma_3=5$ MPa



شکل ۷. تأثیر زبری سطح ناپیوستگی بر روی زاویه‌ی مربوط به کمترین مقاومت سنگ انیزوتrop در فشارهای جانبی مختلف



شکل ۸. تصاویر مربوط به ۴ نمونه در زاویه‌ی شیب ۴۵ درجه و در $JRC=7$ برای فشارهای جانبی مختلف

صفاف باشد کمترین مقاومت در $\beta=35^\circ$ اتفاق می‌افتد در حالتی که برای سطوح زبر کمترین مقاومت در $\beta=30^\circ$ مشاهده می‌شود. اما با افزایش فشار جانبی زاویه‌ی زیب ۴۵ درجه و در $JRC=7$ بر قرار است. در زاویه‌ی شیب 90° هنگامی که زبری افزایش می‌یابد مقاومت نمونه کاهش می‌یابد که علت آن می‌تواند تمرکز تنفس در نوک دندانه و شکست در ناحیه‌ی بکر نمونه باشد. اما هنگامی که فشار محصور کننده افزایش می‌یابد این روند تغییر می‌کند و کاهش مقاومت در این زاویه مشاهده نمی‌شود، زیرا در فشارهای جانبی بالا سنگ درزه‌دار مانند یک سنگ ایزوتrop می‌کند.

نکته‌ی دیگری که با توجه به نتایج این تحقیق می‌توان به آن اشاره کرد، کاهش فرم شانه‌ای نمودارهای ایزوتropی با افزایش زبری سطح ناپیوستگی است. همانگونه که مشاهده می‌شود با افزایش زبری، منحنی مقاومت فشاری نسبت به زاویه‌ی ناپیوستگی به سمت بالا حرکت کرده و حالت شانه‌ای نمودارها کاهش یافته است. علت این حالت را می‌توان به این صورت بیان کرد که، با افزایش زبری سطح ناپیوستگی محدوده‌ای که در آن لغزش اتفاق می‌افتد کاهش می‌یابد و در نتیجه طول بخش شانه‌ای نمودار ایزوتropی کم می‌شود.

۵. بحث و نتیجه‌گیری
نتایج به دست آمده از این مقاله نشان می‌دهد، به طور کلی افزایش زبری سطح ناپیوستگی باعث افزایش مقاومت سنگ می‌گردد. این شرایط برای تمام زوایای شیب به جز $\beta=90^\circ$ بر قرار است. در زاویه‌ی شیب 90° هنگامی که زبری افزایش می‌یابد مقاومت نمونه کاهش می‌یابد که علت آن می‌تواند تمرکز تنفس در نوک دندانه و شکست در ناحیه‌ی بکر نمونه باشد. اما هنگامی که فشار محصور کننده افزایش می‌یابد این روند تغییر می‌کند و کاهش مقاومت در این زاویه مشاهده نمی‌شود، زیرا در فشارهای جانبی بالا سنگ درزه‌دار مانند یک سنگ ایزوتrop رفتار می‌کند.

کمترین مقاومت سنگ ایزوتrop زمانی اتفاق می‌افتد که زاویه‌ی شیب ناپیوستگی با تنفس اصلی حداقل در محدوده ۲۵° تا ۵۰° باشد. به عبارتی دیگر، هنگامی که سطح درزه

منابع

- Akai, K., Yammamoto, K., Ariola, M., 1970. Experimentelle forschung Uber anisotropische eigenschaften von kristallinen schierfern. In Proceedings of the 2nd international congress on rock mechanics. Belgrade.
- Allerot, D., Boehler, J.P., 1979. Evolution Of Mechanical Properties Of A Stratified Rock Under Confining Pressure. 4th ISRM Congress. International Society for Rock Mechanics.
- Attewell, P.B., Sandford, M.R., 1974. Intrinsic shear strength of a brittle, anisotropic rock — I: experimental and mechanical interpretation. International Journal of Rock Mechanics and Mining Sciences & Geomechanics Abstracts, 11(11), 423–430. [http://doi.org/10.1016/0148-9062\(74\)90454-9](http://doi.org/10.1016/0148-9062(74)90454-9)
- Barton, N., Choubey, V., 1977. The shear strength of rock joints in theory and practice. Rock Mechanics, 10(1-2), 1–54. <http://doi.org/10.1007/BF01261801>
- Behrestaghi, M.H.N., Seshagiri Rao, K., Ramamurthy, T., 1996. Engineering geological and geotechnical responses of schistose rocks from dam project areas in India. Engineering Geology, 44(1-4), 183–201. [http://doi.org/10.1016/S0013-7952\(96\)00069-5](http://doi.org/10.1016/S0013-7952(96)00069-5)
- Bray, J., 1967. A study of jointed and fractured rock. Rock Mechanics and Engineering Geology, 5(2-3), 117–136.
- Brown, E.T., 1970. Strength of Models of Rock With Intermittent Joints. Journal of Soil Mechanics & Foundations Div, 96(SM6).
- Chenevert, M.E., Gatlin, C., 1965. Mechanical Anisotropies of Laminated Sedimentary Rocks. Society of Petroleum Engineers Journal, 5(01), 67–77. <http://doi.org/10.2118/890-PA>
- Deklotz, E.J., Brown, J.W., Stemler, O.A., 1966. Anisotropy of a Schistose Gneiss. 1st ISRM Congress. Lisbon: International Society for Rock Mechanics.
- Donath, F. A., 1964. A strength variation and deformational behavior of anisotropic rocks. In W. R. Judd (Ed.), State of Stress in the Earth's Crust (pp. 281–298). Elsevier.
- Donath, F.A., 1972. Effects of Cohesion and Granularity on Deformational Behavior of Anisotropic Rock. Geological Society of America Memoirs (Vol. 135). Geological Society of America. <http://doi.org/10.1130/MEM135>
- Einstein, H.H., Hirschfeld, R. C., 1973. Model Studies on Mechanics of Jointed Rock. Journal of the Soil Mechanics and Foundations Division, 99(3), 229–248.
- Ghazvinian, A., Hadei, M. R., 2012. Effect of discontinuity orientation and confinement on the strength of jointed anisotropic rocks. International Journal of Rock Mechanics and Mining Sciences, 55, 117–124. <http://doi.org/10.1016/j.ijrmms.2012.06.008>
- Hayashi, M., 1966. Strength And Dilatancy of Brittle Jointed Mass - The Extreme Value Stochastics And Anisotropic Failure Mechanism. 1st ISRM Congress. Lisbon: International Society for Rock Mechanics.
- Jaeger, J.C., 1960. Shear failure of anisotropic rocks. Geological Magazine, 97(01), 65–72. <http://doi.org/10.1017/S0016756800061100>
- Ladanyi, B., Archambault, G., 1972. Evaluation de la resistance au cisaillement d'un massif rocheux fragmenté. Proc. 24th Int. Geol. Cong., Montreal, Section.
- Lama, R.D., Vutukuri, V. S., 1978. Handbook on Mechanical Properties of Rocks Testig Techniques and Results. Volume 2 (Vol. 3).
- Martin McCabe, W., Koerner, R.M., 1975. High pressure shear strength investigation of an anisotropic mica schist rock. International Journal of Rock Mechanics and Mining Sciences & Geomechanics Abstracts, 12(8), 219–228. [http://doi.org/10.1016/0148-9062\(75\)91402-3](http://doi.org/10.1016/0148-9062(75)91402-3)
- McLamore, R., Gray, K.E., 1967. The Mechanical Behavior of Anisotropic Sedimentary Rocks. Journal of Manufacturing Science and Engineering, 89(1), 62–73. <http://doi.org/10.1115/1.3610013>
- Nasseri, M.H., Rao, K.S., Ramamurthy, T., 1997. Failure mechanism in schistose rocks. International Journal of Rock Mechanics and Mining Sciences, 34(3-4), 219.e1–219.e15. [http://doi.org/10.1016/S1365-1609\(97\)00099-3](http://doi.org/10.1016/S1365-1609(97)00099-3)
- Pomeroy, C.D., Hobbs, D.W., Mahmoud, A., 1971. The effect of weakness-plane orientation on the fracture of Barnsley Hards by triaxial compression. International Journal of Rock Mechanics and Mining Sciences & Geomechanics Abstracts, 8(3), 227–238. [http://doi.org/10.1016/0148-9062\(71\)90021-0](http://doi.org/10.1016/0148-9062(71)90021-0)

- Ramamurthy, T., Rao, G.V., Singh, J., 1988. A Strength Criterion for Anisotropic Rocks. In Fifth Australia-New Zealand Conference on Geomechanics (pp. 253–257). Sydney.
- Rao, K., Rao, G., Ramamurthy, T., 1986. A strength criterion for anisotropic rocks. Proceedings of the Indian Geotechnical Journal, 317–333.
- Reik, G., Zacas, M., 1978. Strength and deformation characteristics of jointed media in true triaxial compression. International Journal of Rock Mechanics and Mining Sciences & Geomechanics Abstracts, 15, 295–303. [http://doi.org/10.1016/0148-9062\(78\)91470-5](http://doi.org/10.1016/0148-9062(78)91470-5)
- Singh, V., Singh, D., Singh, T., 2001. Prediction of strength properties of some schistose rocks from petrographic properties using artificial neural networks. International Journal of Rock Mechanics and Mining Sciences, 38(2), 269–284. [http://doi.org/10.1016/S1365-1609\(00\)00078-2](http://doi.org/10.1016/S1365-1609(00)00078-2)
- Tien, Y.M., Tsao, P.F., 2000. Preparation and mechanical properties of artificial transversely isotropic rock. International Journal of Rock Mechanics and Mining Sciences, 37(6), 1001–1012. [http://doi.org/10.1016/S1365-1609\(00\)00024-1](http://doi.org/10.1016/S1365-1609(00)00024-1)
- Walsh, J.B., Brace, W.F., 1964. A fracture criterion for brittle anisotropic rock. Journal of Geophysical Research, 69(16), 3449–3456. <http://doi.org/10.1029/JZ069i016p03449>.